

徳山高専 正員 大成博文  
 徳山高専 正員 佐賀孝徳  
 山口大学 正員 斎藤隆

壁面噴流(Wall Jet)に関する研究は、1956年のGuluartによって開始せられて以来、その内部に秘められた物理的特性を明らかにしてきている。<sup>1)</sup>しかし、それらの多くが、実験装置内で形成した二次元的空間において二次元的諸特性の考察のみにとどまるものであった。壁面噴流は、流れの発達とともに、本質的にその複雑性と高次性を有する多重構造の流れであり、その本質的解明のためにより高次元的考察が必要であると言える。

本研究は、噴流口で発生した二次元壁面噴流が流れの発達とともに三次元流へと移行していく過程を明らかにするために横断方向特性に注目したものである。また、従来の本流での三次元流での研究では、装置上の制約条件として側壁を必ず有するものであったが、それらにおいて側壁の効果がどのように壁面噴流の横断方向特性に影響を与えているかはあまり考慮されてはいないか、たと言え。広幅水路と狭幅水路での結果とは較することによってその効果の差異が明らかとなりうる。自由噴流における側壁効果に関する研究(いわゆるBounded Jet)は、噴流口で発生した渦管の変形をstretched modelとしてとらえて説明しているが、いずれも低アスペクト比(噴流幅B/噴流厚B<sub>0</sub>)であることが特徴である。<sup>2),3)</sup>

本研究は、高アスペクト比下での壁面噴流を対象としたことが特徴であり、その平均流速分布を立体的に計測することによって横断方向構造を明らかにしようとしたものである。

実験用水路は、幅60cm、長さ10m、深さ1mを用い、壁面、側壁には同質のアクリル樹脂板を用い、噴流口から下流端までの距離を1m、壁面上の水深を50cm以上とした。平均流速計測には、ピトーハイドロメータを使用した。噴流幅B=56cm、噴流厚B<sub>0</sub>=0.8cmであり、噴流口詳細図をFig.1に示す。Fig.2は、噴流口流速V<sub>0</sub>の分布を示したものであり、横断方向および水深方向で均一な噴流口流速分布が得られていることがわかる。

Fig.3は、壁面噴流の従来の二次元モデルを示したものであり、流下方向には、流れの形成領域と確立領域とに、水深方向には主流部と境界層部とに大きく区分されるが、横断方向特性がこの区分に従ってそれぞれの領域において検討される必要があるといえるであろう。

Fig.4は、計測結果をもとに平均流速分布の立体描写を試みたものである。上述の二次元モデルに従えば、境界層は3領域においてそれぞれ異なる特性を示すと思われる。すなはち、A( $0 < x < x_E$ )のボテンシャルカルコア一下の境界層、B( $x_E < x < x_F$ )の主流部と境界層部とが相互に影響しあう領域、そしてC( $x > x_F$ )の主流部の丸みが完全に境界層の内部まで影響を及ぼす領域等に分けられる。

Fig.5は、B、Cの領域内の境界層の横断方向特性を示したものである。領域Bでは比較的小ステールの不均一性を示しており、太坂<sup>4)</sup>が指摘した経緯の存在と関連する傾向と思われる。これに対し、領域Cでは、次に述べる主流部の陥没の影響をうけてBとは異なる傾向を示しているといえる。

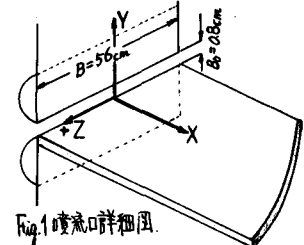


Fig.1 噴流口詳細図

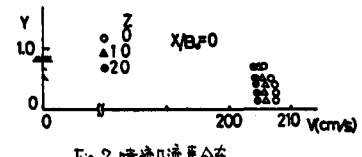
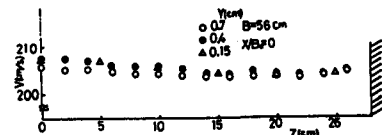


Fig.2 噴流口流速分布

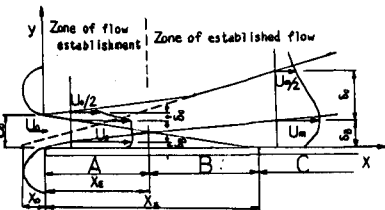


Fig.3 従来の二次元モデル

Fig.6は主流部の横断方向平均流速分布を示したものである。特徴は中央部における大きな陥没がある点であり、流下距離に伴う変化はあまり生じていないようである。Fig.7は、水深方向に横断方向特性を比較したものであるといえるが、境界層内と主流部では全く分布形状が異なり、境界層外縁部付近では、ほぼ同一になる傾向を示している。また、これまことに示した図のいずれの場合においても $Z=21\text{cm}$ 付近で側壁効果による加速現象が認められる。これら局所的挙動については今後詳細な実験を用意するものであろう。

Fig.8は、境界層内の流速分布を表したものであり、横断方向による違いは顕著であり、従来の狭幅水路( $B=20\text{cm}$ )での実験結果とは、水路中央部で一致する傾向を示している。Fig.9の境界層の巻連を表す図も同様と思われるが、狭幅水路の結果とは、極端部を除いて顕著な差異はみられない。しかし、主流部の拡散の様子を示したFig.10においては、横断方向で大きく異なり、従来の二次元下の実験式は、本路中央部で大きなずれを示している。

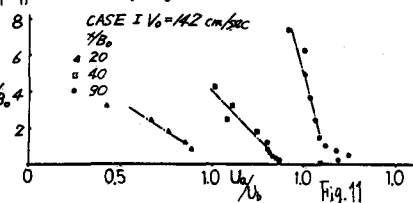
解釈は、横断方向の陥没率を流下距離・水深方向で比較したものである。この図から、陥没率は、流下距離の増大とともに、そして壁面から離れるにしたがって増大していくと言え、陥没率の勾配は流下距離の増大とともにゆるくなっているといえ。 $X/B_0=10$ では、境界層内および主流部の乱れの影響が完全に漏れてしまうことから、その部分で逆転する傾向も生じているといえる。

以上、各地点ごとの横断方向特性を簡単に示してきたが、これらの諸特性は各種の水理条件下で詳細な実験を行ない系統的に検討されねばならない。しかし、依然として陥没の原因を究める問題が残っており、現段階では、オイに、側壁の効果により側壁部で局所巻きが生じ、渦管が切断され、本路中央部においてのみ生き残ってゆくことになり、上半流の成分が顕著にならない。オイに、そのオイの傾向を壁面からさらに増幅させられるのではないかという点。

すこしに自由表面下での実験をあそための逆流の影響等を考えらるが、これらはどう連関しあうかは解明できていない。

(参考文献)

- 1) 斎藤: 土木学会論文集 No.443, 1977.
- 2) ROCKWELL: ASME, 1977.
- 3) HOLDHORN: ASME, 1975.
- 4) 大坂: 機論, 1974.



397

